

## 締め固めた砂質地盤に対する鋼板の摩擦特性

愛媛大学工学部 正会員 ○河原 荘一郎  
 愛媛大学大学院 学生会員 星加 泰央  
 愛媛大学工学部 小林 利充

1. まえがき

地盤の締め度の転圧ローラの摩擦特性に及ぼす影響を調査することを目的として、転圧ローラの接地面を平面と見立て締め度の異なるまさ土地盤上で鋼板を牽引する実験を行った。

2. 供試地盤および実験方法

平均粒径0.78mmの気乾状態のまさ土を10層に分け空中落下法により平面ひずみ土槽（長さ120×幅10×深さ35cm）に充填した後、転圧ローラ（線圧16.3kgf/cm<sup>2</sup>、直径31.9×幅9.5cm）を転圧回数N=0～10回にて自走・往復走行させ締め度の異なる供試地盤を作成した（相対密度45～89%、深さ31～28cm）<sup>1)</sup>。

図1に示す実験装置において、平板（ステンレス鋼板）はヒンジ構造であり、また鉛直ガイドに沿って自由に沈下する。供試地盤において5段階の平均垂直応力p(kgf/cm<sup>2</sup>)の下で平板を速度1.3cm/sにて平板長30cm牽引し、スリップ量j(cm)、せん断応力τ(kgf/cm<sup>2</sup>)および平板後端の滑り沈下量S<sub>s</sub>(cm)を測定した。

3. せん断特性

一般に、緩い砂質地盤におけるτ-j曲線は次式<sup>2)</sup>の飽和関数で表される。

$$\tau = (m_c + m_f \cdot p) \{1 - \exp(-a \cdot j)\} \quad (1)$$

$m_c$ ,  $m_f$ : 地盤と平板との間の付着力、摩擦係数

a: 形状係数 ( $j=0$ における接線勾配)

$j=30\text{cm}$ におけるせん断応力 $\tau_{\max}$ とpの関係において $m_c=0$ とし

て $m_f$ を求めた後、最小自乗法によりaを決定した。一例として、N=0回におけるτ-j曲線を図2に示す。転圧回数に関わらず(1)式でよく近似できる。

せん断に関する地盤-車輪系定数を表1に示す。同表には地盤の平均的な乾燥密度 $\rho_d$ も示した。摩擦係数 $m_f$ は転圧回数、すなわち締め度に関係なくほぼ一定（平均0.434）である。締め度が高くなると砂粒子の平板との接点数は増加するが、これは固体間の摩擦であると考えられる。したがって、凝着論によると摩擦力は接点数に関係なく垂直抵抗力に比例するため、摩擦係数が一定となる。

一方、形状係数aは転圧回数が増加するにつれて大きくなるが、N=6回以降は締め度がほとんど変化しないためほぼ一定となる。この関係は次式の双曲線で表される。

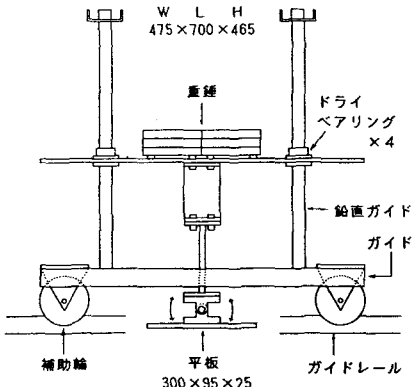


図1 平板牽引実験装置

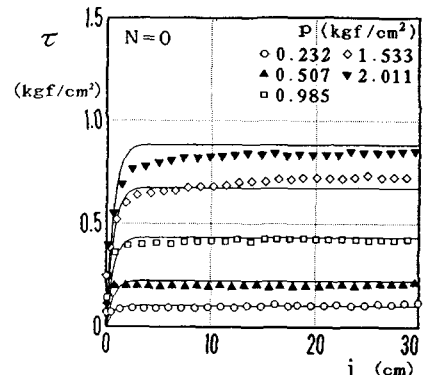


図2 せん断応力τとスリップ量jの関係

表1 せん断に関する地盤-車輪系定数

N (回)	$\rho_d$ (g/cm <sup>3</sup> )	$m_f$	a (1/cm)	相関係数 r
0	1.455	0.439	1.59	0.994
2	1.586	0.444	2.51	0.996
4	1.610	0.423	2.92	0.997
6	1.620	0.416	4.11	0.989
8	1.626	0.396	4.67	0.997
10	1.630	0.428	4.29	0.994

$$\rho_{d\max}=1.68 \quad \rho_{d\min}=1.31 \text{ g/cm}^3$$

$$\alpha = 1.59 + \frac{N}{0.132N + 1.978} \quad (r=0.925) \quad (2)$$

また、 $\rho_a$ とNの関係は次式の双曲線で表される<sup>1)</sup>ことがわかっている。

$$\rho_a = 1.455 + \frac{N}{5.248N + 4.802} \quad (3)$$

(2), (3)式よりNを消去すると、 $\alpha$ と $\rho_a$ の関係を求めることができる。この関係もやはり双曲線で表される。

$$\alpha = 1.59 + \frac{5.248(\rho_a - 1.455)}{-8.806(\rho_a - 1.455) + 1.978} \quad (4)$$

#### 4. 滑り沈下特性

一般に、 $S_s - j$ 曲線は次式<sup>3)</sup>のべき関数で表される。

$$S_s = C_0 \cdot p^{c_1} \cdot j^{c_2} \quad (5)$$

$C_0, C_1, C_2$ ：地盤－車輪系定数

一例として、N=0回における $S_s - j$ 曲線を図3に示す。転圧回数に関わらず(5)式で概ね近似できる。また、 $j=30\text{cm}$ における滑り沈下量 $S_{s30}$ と転圧回数Nの関係を図4に示す。 $S_{s30}$ は締固め度の増加が急なN=0から2回にかけてかなり減少するが、N=6回以降は締固め度がほとんど変化しないためほぼ一定となる。したがって、滑り沈下量は締固め度が増すにつれて減少する。

滑り沈下に関する地盤－車輪系定数を表2に示す。指数 $c_1, c_2$ は転圧回数とある一定の関係はみられないが、定数 $C_0$ は $S_{s30}$ と同様な関係がみられる。したがって、滑り沈下量は定数 $C_0$ に大きく依存しているといえる。 $C_0$ とNの関係は次式の双曲線で表される。

$$C_0 = 0.4305 + \frac{N}{-2.129N - 2.473} \quad (r=0.863) \quad (6)$$

(3), (6)式よりNを消去すると、 $C_0$ と $\rho_a$ の関係を求めることができる。この関係もやはり双曲線で表される。

$$C_0 = 0.4305 - \frac{5.248(\rho_a - 1.455)}{0.702(\rho_a - 1.455) + 2.473} \quad (7)$$

#### 5. まとめ

地盤と鋼板との間の摩擦係数は地盤の締固め度に関係なく一定である。滑り沈下量は定数 $C_0$ に大きく依存しており、締固め度が増すにつれて減少することが判明した。

#### 参考文献

- 1) 河原莊一郎・室達朗・深川良一・星加泰央：転圧ローラの走行性とまさ土の締固めとの関連性、第27回土質工学研究発表会講演集、pp. 2111-2114、1992.
- 2) Z. Janosi and B. Hanamoto : The analytical determination of drawbar-pull as a function of slip for tracked vehicles in deformable soils, Proc. of the 1st Int. Conf. of the Mechanics of Soil-Vehicle Systems, 1961.
- 3) 室達朗著：テラメカニックス－走行力学－、pp. 31-74、技報堂出版、1993.

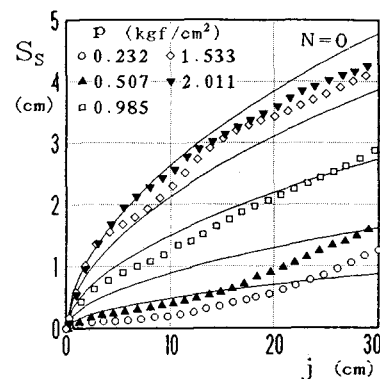


図3 滑り沈下量 $S_s$ とスリップ量 $j$ の関係

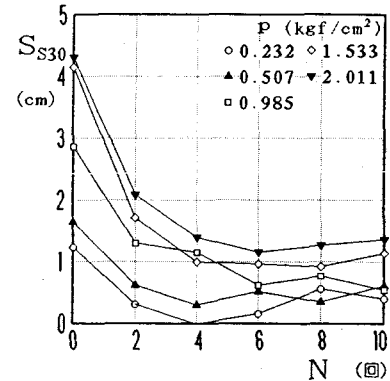


図4 滑り沈下量 $S_{s30}$ と転圧回数Nの関係

表2 滑り沈下に関する地盤－車輪系定数

N	$C_0$	$C_1$	$C_2$	r
0	0.4305	0.789	0.546	0.891
2	0.1853	0.984	0.500	0.847
4	0.0197	0.517	1.122	0.795
6	0.0176	0.785	1.045	0.713
8	0.0093	0.442	1.322	0.667
10	0.0276	0.805	0.995	0.874